

## 充腹けた断面に作用する空気力の特性

東京大学工学部	正員	伊藤 学
同 大学院	学生員	○田中 宏
川崎重工業 K.K.	正員	山本辰一
東京大学大学院	学生員	森光康夫

1. まえがき

橋梁として用いられる充腹断面けたの典型として、BOX型、H型、Π型の各断面を考え、振動中のけたに作用する動的・非定常空気力を実測して、これらの断面形状の特性、けた高の影響などを考察すると共に、橋けたの自励振動現象との対応などを検討した。

2. 動的空気力の測定

二次元剛体が円振動数  $\omega$  で、上下・回転の連成振動をするとき、風速  $V$  のもとで作用する揚力  $L$  及び空力モーメント  $M$  は

$$\uparrow L = -\pi \rho b^3 \omega^2 [L_y \left(\frac{h}{b}\right) + L_\varphi \varphi] \quad \curvearrowleft M = \pi \rho b^4 \omega^2 [M_y \left(\frac{h}{b}\right) + M_\varphi \varphi] \quad (1)$$

であらわされる。ここで  $y$ : 上下変位、 $\varphi$ : 回転変位、 $\rho$ : 空気密度、 $b$ : 物体幅の半分である。

各空気力係数は、いずれも換算振動数  $\bar{\omega} = \omega b / V$  の函数である。

変位との間に位相差をもつので  $L_y = L_{yR} + i L_{yI}$ , ... のよう複素表示する。図1, 表1のよう各模型について、強制振動法により実測した空気力の例を図2に示す。強制振動振幅は、

上下方向で  $y_0 = 5 \text{ mm}, 10 \text{ mm}, 20 \text{ mm}$  (回転方向で  $\varphi_0 = 2^\circ, 4^\circ, 7.5^\circ$ ) としたが、図2は最小振幅による測定結果である。振幅による空気力の差は一般に小さく、特に顕著な相違が現われない例を図3に示す。これらを簡単に考察すると、

- 1) 空気力の絶対値は、一般にけた高が大きくなるにつれて  $L$  では増大し、 $M$  では減少する。
- 2)  $M$  の位相遅れは、ほど  $y_0/b$  に比例して増大する。
- 3)  $M_{yI}$  についてみると、B05, B10, H05, Π05 では平板と同傾向を示すが、けた高がこれ以上になると、 $M_{yI} > 0$  の領域ができる。これは失速フッター型(回転1自由度)振動の不安定を示している。更に BOX型、H型については中间のけた高についても実験したところ、B14 及 H07 以上が不安定となることがわかつた。
- 4) H30 では、 $L_{yI} > 0$  の領域ができる。これはギャロッピング型(上下1自由度)振動の不安定である。H20, Π20 以下ではあらわれないが、H25 及 H30 ではすこしこの傾向が見られる。
- 5) 前二項より、前縁部における空気流の剥離に対するけた高の影響は、H型では BOX型に比して約2倍の効果を及ぼすと考えられる。Π型は H型に近いが、两者の中间的性質をもつてゐるようと思われる。

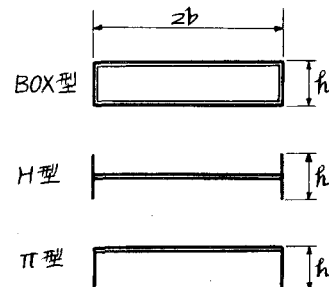
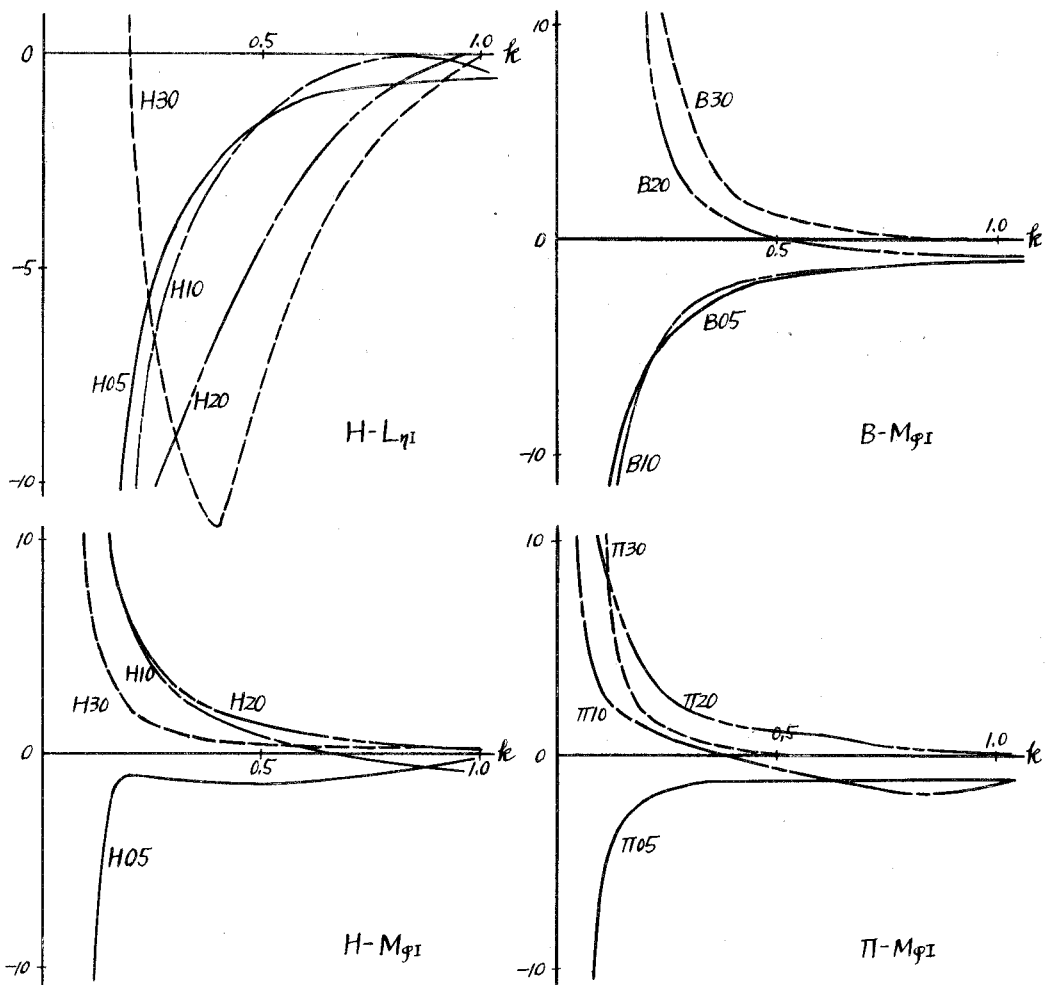


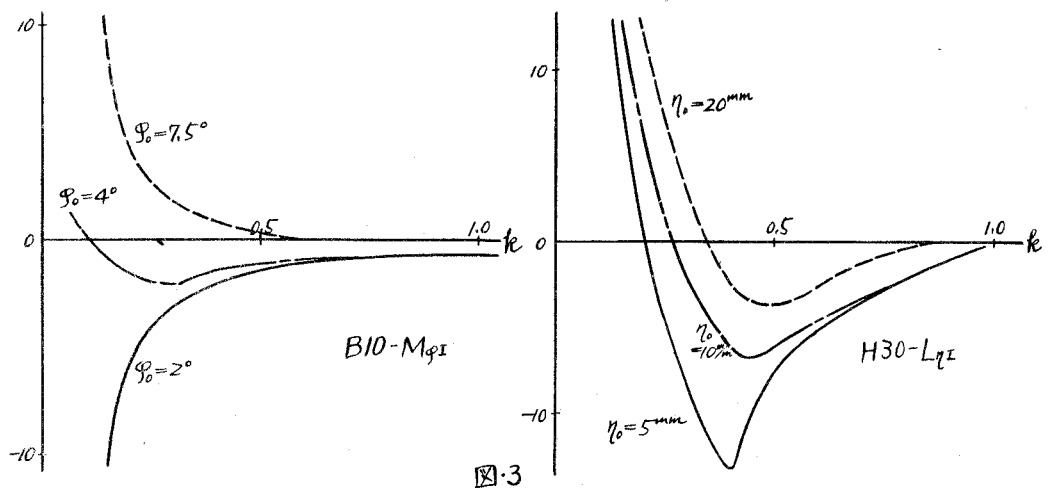
図.1

$h/b$	0.05	0.10	0.20	0.30
BOX型	B05	B10	B20	B30
H型	H05	H10	H20	H30
Π型	Π05	Π10	Π20	Π30

表.1



図・2



図・3

6) 無次元空気力係数に対する強制振動振幅の影響は、模型周辺の空気流がポテンシャル流に保たれていく限り現われない筈であり。実測値でも無視できるが、最大振幅時に剥離がはじまると、空気流もその様相を異にする。(図3)。 $M_{\varphi_1} > 0$  となる振幅と、同じ断面で  $dC_l/d\varphi < 0$  となる迎角  $\varphi_m$  との間に何らかの対応が見られる(表2)。

### 3. 静的空気力との対応

BOX型、H型に対する三分力を求めると表2のようになる。ここに  $s = (dC_l/d\varphi)_{\varphi=0}$ ,  $s_t = (dC_l/d\varphi)_{\varphi_m}$  また  $C_l$ ,  $C_m$  はそれぞれ  $C_l$  及び  $C_m$  の勾配が 0 又は負になり始める迎角である。一般に、1自由度振動の発振条件は、動的空気力の場合と定性的に一致する。

△位で  $k$  対する動的空気力

$$\begin{aligned} \uparrow L &= -\pi \rho b^2 \omega^2 L_p \varphi, \quad \curvearrowleft M = \pi \rho b^2 \omega^2 M_p \varphi \\ \text{ただし}, \quad l_p &= k^2 L_p, \quad M_p = k^2 M_p \\ \text{とおくと}, \quad L &= -\frac{1}{2} \rho V^2 (2b) \pi l_p \varphi \\ &M = \frac{1}{2} \rho V^2 (2b)^2 \frac{\pi}{2} m_p \varphi \end{aligned} \quad (2)$$

これらを、静的空気力

$$\uparrow L = \frac{1}{2} \rho V^2 (2b) C_l, \quad \curvearrowleft M = \frac{1}{2} \rho V^2 (2b)^2 C_m$$

$$\text{と比較すれば} \quad C'_l = -\pi l_p \varphi, \quad C'_m = \frac{\pi}{2} m_p \varphi \quad (3)$$

がこれぞれ、動的挙揚力係数及び空力モーメント係数に相当する。定常状態すなわち  $\dot{\varphi} = 0$  では、

$$l_p = -\frac{1}{\pi}, \quad m_p = \frac{2 \dot{\varphi}}{\pi}$$

となるので、この方法を用いれば、動的及び静的空気力を同時に表示し、比較検討できる。BOX型  $k$  について図4に例示する。

### 4. 自由振動法との対応

測定された動的空気力による発振風速の計算値を実験的に確認し、同時に空気力の一部を検算するために、自由振動実験を行なった。実験結果から次のようすことが考察される。

1) 平板に類似した空気力を示す模型では、迎角が増加すると発振風速  $V_d$  は急激に減少する(曲げ振れフリッタ型特性)が、 $M_{\varphi_1} > 0$  となる断面では、 $V_d$  はほど一定又はむしろ増加する傾向がある(失速フリッタ型特性)。

2) 2自由度実験の結果、曲げ振れ小型断面では連成振動がみられ、失速型断面では回転振動が卓越し発散した。但し  $H30$  では一旦回転振動が定常振幅に達した後、上下振動が発振した。

模型	$s$	$s_t$	$C_l$	$\varphi_m$
B05	5.73	1.06	10°	6°
10	6.30	0.97	6°	6°
20	5.73	-0.34	6°	0°
30	10.0	-0.54	20°	0°
H05	11.4	1.84	12°	6°
10	7.17	0	8°	0°
20	5.73	-0.34	—	0°
30	-4.01	-0.49	0°	0°

表2

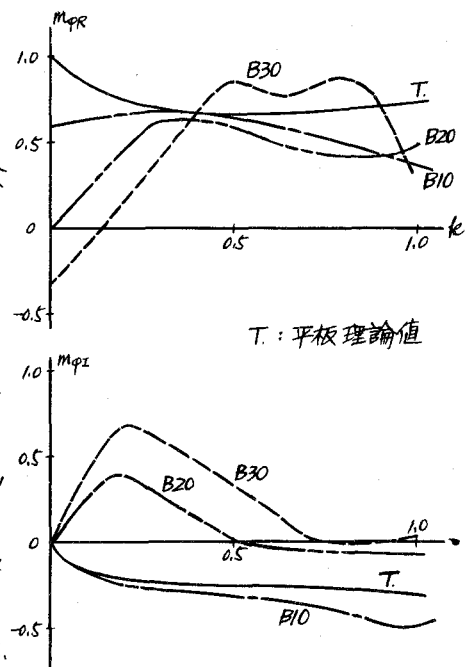


図4

- 3) 回転 1 自由度実験を行なうと、曲げ振れ型断面では発振しないか又は  $V_d$  がかなり高くなるが、失速型断面では 2 自由度の場合とほど同じ  $V_d$  を与える。
- 4) 振れ 1 自由度振動における減衰率から動的空気力  $M_{\varphi}$  を近似的に求め、強制振動の結果と比較すると、かなり良く一致した。

### 5. 自由振動現象の解析

#### 1) 失速フリッター型振動

構造減衰の影響を無視すれば、変位  $\varphi = \varphi_0 e^{i\omega t}$  の 1 サイクル毎に空気力  $M$  のます仕事は

$$\oint M d\varphi = \pi^2 \rho b^4 \omega^2 \varphi_0^2 \cdot M_{\varphi I}$$

となるので  $M_{\varphi I} > 0$  のとき振動は増幅し、不安定となる。<sup>3)</sup> このとき限界風速  $V_c$  及び円振動数  $\omega_c$  は次式から求められる。

$$\left. \begin{aligned} 1 + \frac{1}{\mu} M_{\varphi I} &= \left( \frac{\omega_c}{\omega} \right)^2 \\ M_{\varphi I} &= \nu g_f \left( \frac{\omega_c}{\omega} \right)^2 \end{aligned} \right\} \quad (4)$$

ここで  $\omega_c$ : 振れ固有円振動数,  $g_f$ : 振れ構造減衰係数,  $\nu = \mu (\gamma/b)^2$ ,  $\gamma$ : 断面の回転半径である。

(4) 式は、オーダー近似として  $\omega = \omega_c$  とおいて  $\omega$  を定め、更にオーダー式から  $\omega$  を求める操作を繰返すことでも簡単に解ける。

#### 2) ギヤロッピング型振動

1) と同様にして  $g=0$  なら  $L_{\varphi I} > 0$  で不安定となる。  $V_c$ ,  $\omega_c$  を求める式も同様で

$$\left. \begin{aligned} 1 + \frac{1}{\mu} L_{\varphi I} &= \left( \frac{\omega_c}{\omega} \right)^2 \\ L_{\varphi I} &= \mu g_f \left( \frac{\omega_c}{\omega} \right)^2 \end{aligned} \right\} \quad (5)$$

ここで  $\omega_c$ : 曲げ固有円振動数,  $g_f$ : 曲げ構造減衰係数,  $\mu = m/\pi \rho b^2$ : 密度比である。

#### 3) 曲げ振れフリッター型振動

$L_{\varphi I}$  は回転振動中に上下振動を、また  $M_{\varphi I}$  は上下振動中に回転振動を、それぞれひき起す可能性を示している。従って  $L_{\varphi I} > 0$ ,  $M_{\varphi I} > 0$  なる断面は連成振動を惹起する傾向をもつ。

$V_c$  及び  $\omega_c$  は、

$$\left. \begin{aligned} \ddot{\varphi} + (1 + ig_f) \omega_c^2 \varphi &= \frac{1}{m} L \left( \frac{\gamma}{b}, \varphi \right) \\ \ddot{\varphi} + (1 + ig_f) \omega_c^2 \varphi &= \frac{1}{\mu} M \left( \frac{\gamma}{b}, \varphi \right) \end{aligned} \right\} \quad (6)$$

右辺は (1) 式を代入して求めよ。各振動形に対する  $V_c$  及び  $\omega_c$  を比較例示すると表 3 のようになる。

図 5 には、サ夫高の変化に伴う BOX 型及び H 型の限界風速の変化を図示する (ただし  $M=30$ ,  $\gamma/b=0.56$ ,  $g=0.032$ ,  $\omega_c/\omega_c = 2.0$  の場合)。一般に BOX 型の  $V_c$  は  $b/h = 0.3$  まで単調減少するのに對し、H 型では 0.1 ~ 0.2 附近で  $V_c$  が最小となる。

#### 文献

- 1) 伊藤、下瀬、三浦、田中「橋脚断面に作用する動的空気力について」、機械講演会 (1966)。
- 2) 東大橋梁研究室「若戸吊橋の耐風安定性に関する実験的研究」(1960)。
- 3) 藤川久一郎「空気弹性学」共立应用力学講座 (1957)。

模型	$N_r/N_s$	$g$	$V_d$	$V_c$	$V_c/V_d$	振動特性
B05	2.0	0.012	12.2	10.3	0.84	曲げ振れフリッター
	2.5	0.009	18.7	15.4	0.83	
B10	2.0	0.010	10.0	8.5	0.85	"
	2.5	0.009	16.9	12.1	0.72	
B20	2.0	0.019	4.9	4.9	1.00	失速フリッター
	2.5	0.011	6.6	6.1	0.92	
B30	2.0	0.012	4.4	4.0	0.91	"
	2.5	0.008	5.2	4.5	0.87	
H05	2.0	0.013	8.6	9.1	1.05	曲げ振れフリッター
	2.5	0.009	10.4	11.7	1.12	
H10	2.0	0.014	3.4	3.3	0.99	失速フリッター
	2.5	0.012	4.0	4.0	1.00	
H20	2.0	0.012	3.3	3.1	0.93	"
	2.5	0.006	3.4	3.5	1.04	
H30	2.0	0.012	3.0	4.5	1.48	ギヤロッピング
	2.5	0.010	4.1	4.0	1.00	

表 3

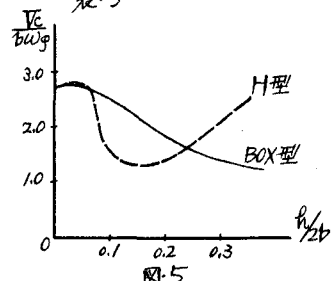


図 5